

Pb(Mg<sub>1/2</sub>W<sub>1/2</sub>)O<sub>3</sub>-Pb(Ni<sub>1/3</sub>Nb<sub>2/3</sub>)O<sub>3</sub>-PbTiO<sub>3</sub>-PbZrO<sub>3</sub>계 세라믹스의  
유전 및 압전 특성

김 우현<sup>\*</sup>, 윤 광희, 윤 현상, 박 용우, 박 창엽

연세대학교 전기공학과

Dielectric and Piezoelectric Characteristics of Ceramics in the  
Pb(Mg<sub>1/2</sub>W<sub>1/2</sub>)O<sub>3</sub>-Pb(Ni<sub>1/3</sub>Nb<sub>2/3</sub>)O<sub>3</sub>-PbTiO<sub>3</sub>-PbZrO<sub>3</sub> system

Woo-Hyun Kim<sup>\*</sup>, Kwang-Hee Yoon, Hyun-Sang Yoon, Yong-Wook Park

Dept. of Electrical Engineering, Yonsei Univ.

ABSTRACT

In this study, the structural, dielectric and piezoelectric properties of  $x$ Pb(Mg<sub>1/2</sub>W<sub>1/2</sub>)O<sub>3</sub>-(1-x)[0.41Pb<sub>2</sub>(Ni<sub>1/3</sub>Nb<sub>2/3</sub>)O<sub>3</sub>-0.36PbTiO<sub>3</sub>-0.23PbZrO<sub>3</sub>] ( $x=0, 0.01, 0.02, 0.03, 0.04, 0.05$ ) system ceramics were investigated. The dielectric constant  $\epsilon_{33}'$  at room temperature increased up to 3mol% PMW and decreased with further PMW content. The specimen with 1mol% Pb(Mg<sub>1/2</sub>W<sub>1/2</sub>)O<sub>3</sub>, which has the  $\epsilon_{33}'=4509$ ,  $k_p=59[\%$ ] and  $d_{33}=758 \times 10^{-12} [C/N]$ , exhibits good characteristics.

1. 서 론

Pb(ZrTi)O<sub>3</sub>계 세라믹스는 온도 안정성이 뛰어나고 정방정계와 삼방정계의 상경계 근처에서 우수한 압전 및 유전 특성을 가진다.[1] 이러한 PZT계 압전 세라믹스는 불순물을 첨가하거나 페로브스카이트형 복합산화물을 제 3성분으로 결합시켜 소결성, 압전 특성, 유전 특성의 개선을 위해 연구되어 왔으며, 초음파기기, 음향기기, 통신기기등의 분야에 응용되었고 또한 광학기기나 정밀위치제어 등을 요구하는 분야에서 마이크로미터 및 그 이하 범위의 미소변위를 제어하는 압전 액츄에이터로까지 광범위한 분야에 응용되고 있다[2][3]. 특히 압전 액츄에이터 및 전기음향변환재료로서는 발생왜형이 크고 전기음향변환효율이 커야 하므로 유전상수 및 압전정수가 크고 전기기계결합계수가 큰 재료가 요망되고 있다.

본 연구에서는 1965년 E. A. Buynanova 등[4]이 연구 발표한 비교적 높은 유전상수와 압전 특성을 갖는 Pb(Ni<sub>1/3</sub>Nb<sub>2/3</sub>)O<sub>3</sub>-PbTiO<sub>3</sub>-PbZrO<sub>3</sub>(PNN-PT-PZ) 3성분계 세라믹스를 기본 조성으로 하여 유전 및 압전 특성의 향상을 제 4성분인 Pb(Mg<sub>1/2</sub>W<sub>1/2</sub>)O<sub>3</sub>(PMW)[5]를 포함시킨 PMW-PNN-PT-PZ계 세라믹스를 개발하여 구조적, 유전적, 압전적 특성을 연구하였다.

2. 실험

본 실험에서는 PNN-PT-PZ 계 세라믹스중 우수한 유전 및 압

전 특성을 갖는 0.41PNN-0.36PT-0.23PZ를 기본 조성으로 하고 이 조성에 PMW를 치환한 xPMW-(1-x)[0.41PNN-0.36PT-0.23PZ]의 조성식으로 x를 0, 0.01, 0.02, ..., 0.05로 변화시켜 가면서 제조하였다.

조성비에 따라 평탕하여 중류수를 혼합매체로 16시간 불필한 후, 혼합분쇄된 시료를 오븐에서 완전건조시켜 분쇄하여 알루미나 도가니에 넣어 850°C에서 2시간 동안 하소하였다. 하소가 끝난 시료는 성형조제 PVA(5wt% 수용액)을 5wt% 철가하여 조립한 후 직경 21mm mould로 1ton/cm<sup>2</sup>의 압력을 가하여 성형하였다. 성형된 시편의 성형조제(PVA)를 600°C에서 1시간 동안 열처리하여 완전히 제거한 후 적층하여 이중 알루미나 도가니에 넣어 승하강 온도를 300°C/h로 1150°C에서 2시간 유지하여 소성하였다.

소성이 끝난 시편들은 소결성을 판단하기 위해 소결밀도를 측정하였으며 결정구조를 조사하기 위해 X선 회절분석(XRD)을 하였다. 시편은 연마제를 이용하여 1mm 두께로 연마하고 시편의 양면에 스크린 인쇄법으로 은전극을 칠한 후 600°C에서 10분간 열처리하여 전극을 형성하였다. 전극을 부착시킨 시편은 100°C 실리콘유 속에서 30kv/cm의 전계를 30분간 가하여 분극 처리하였으며, 분극 후 24시간이 경과한 다음 압전 특성과 유전 특성을 조사하기 위해 유전상수는 Impedance Analyzer(HP4192A)를 이용하여 1KHz에서 측정하였고 제반 압전 특성들은 Network Analyzer(HP3577)를 사용하여 공진 및 반공진 주파수를 측정한 다음 IRE규정[6]에 따라 계산하였다.

3. 결과 및 고찰

Fig. 1은 PMW 치환량에 따른 X-선 회절 분석 결과이다. 그림에 나타난 바와 같이 회절각의 폭이 좁고 미반응 물질에 대한 피크가 관찰되지 않은 것으로 보아 완전한 고상반응이 이루어졌음을 알 수 있다. 또한 전반적으로 PMW가 치환됨에 따라 정방정계와 삼방정계가 공존하는 상경계 영역에서 삼방정계로 이동하고 있음을 알 수 있다. Fig.2는 PMW 치환량에 따른 시편의 밀도를 나타낸 것이다. 대체로 시편의 밀도는

$7.82\text{g}/\text{cm}^3$ 에서  $7.94\text{g}/\text{cm}^3$  사이로 비교적 치밀하게 소성되었음을 알 수 있다.

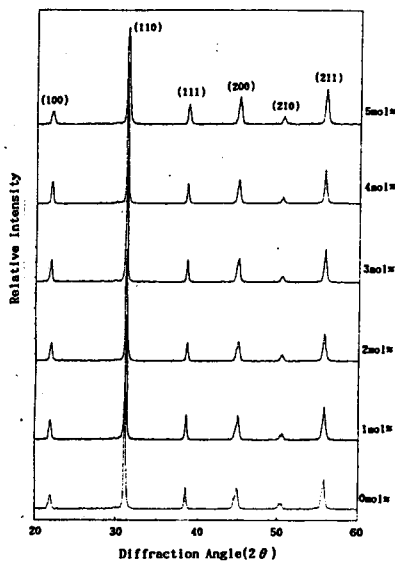


그림 1. PMW 치환량에 따른 X-선 분석 모양  
Fig. 1 XRD Patterns according to PMW content

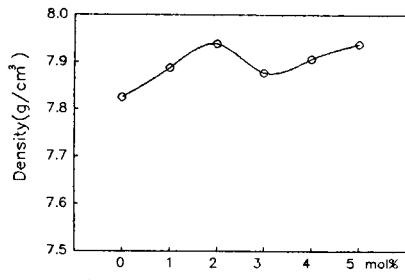


그림 2. PMW 치환량에 따른 밀도의 변화  
Fig. 2 Density according to PMW content

Fig. 3과 Fig. 4는 PMW 치환량에 따른 상온에서의 유전상수와 상전이 온도를 나타낸 것이다. 상온에서의 유전상수는 PMW의 치환량이 3mol% 까지는 증가하다가 그 이상 치환량이 증가함에 따라 감소하였다. 상온에서의 유전상수가 PMW 치환량이 2, 3mol% 일 때 1mol%에서 보다 증가한 것은 상전이 온도가 낮아졌기 때문으로 생각되며, 4mol% 이상일 경우 상전이 온도가 낮아졌음에도 불구하고 상온에서의 유전상수는 작아지고 있다.

Fig. 5는 PMW의 치환량에 따른 kp의 변화를 나타낸 것이다. PMW의 치환량이 증가될수록 1mol%에서 최대치를 나타내었다가 그 이상 치환량이 증가될 수록 감소하였다. 이는 X-선 회절 분석에서 볼 수 있듯이 결정구조가 정방정계와 삼방정계의

상경계 영역 근처에서 삼방정계 구조를 갖는 조성에서 가장 우수한 특성을 나타낸다.

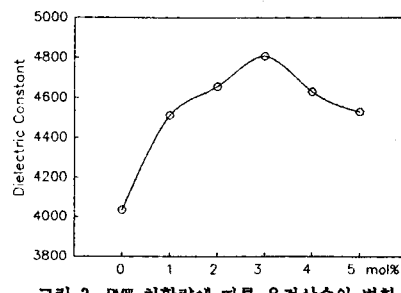


그림 3. PMW 치환량에 따른 유전상수의 변화  
Fig. 3 Dielectric constant according to PMW content

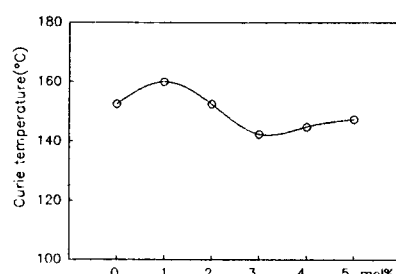


그림 4. PMW 치환량에 따른 상전이 온도의 변화  
Fig. 4 Curie point according to PMW content

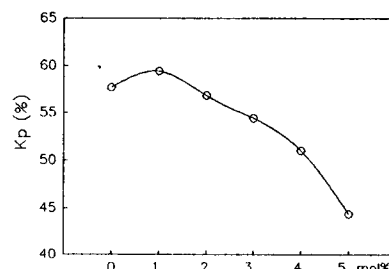


그림 5. PMW 치환량에 따른 kp의 변화  
Fig. 5 Electromechanical coupling factor kp according to PMW content

Fig. 6은 PMW 치환량에 따른 압전정수  $d_{33}$ 의 변화를 나타낸 것이다. PMW 치환량이 증가함에 따라 1mol%일 때 최대치를 나타냈다가 점차 감소하였다. 압전정수  $d_{33}$ 는 Fig. 5의 kp 변화와 비슷한 경향을 보이는데, PMW의 치환량이 2, 3mol%일 때 상온에서의 유전상수가 증가하였지만 압전정수  $d_{33}$ 가 감소한 것은 kp가 낮아졌기 때문이다.

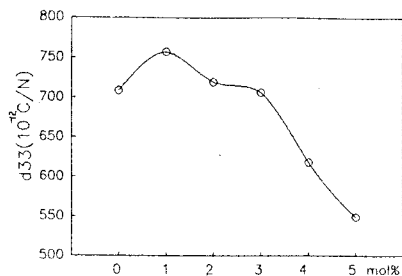


그림 6 PMW 치환량에 따른 시편의 압전 정수  $d_{33}$  변화

Fig. 6 Piezoelectric constant  $d_{33}$  according to PMW content

Fig. 7 은 PMW 치환량에 따른 기계적 품질 계수  $Q_m$ 의 변화를 나타낸 것이다. PMW 치환량이 증가할 수록  $Q_m$ 이 감소하고 있음을 알 수 있다. 이상의 결과를 Table 1에 나타내었다.

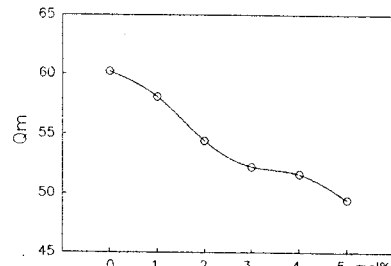


그림 7 PMW 치환량에 따른 시편의 기계적 품질계수  $Q_m$ 변화

Fig. 7 Mechanical quality factor  $Q_m$  according to PMW content

표 1 각 조성별 시편의 유전 및 압전 특성

Table 1 The piezoelectric and dielectric properties according to specimens

PMW (mol%)	밀도 [g/cm <sup>3</sup> ]	유전 상수 ( $\epsilon_{33}^T$ )	kp [%]	$d_{33}$ [ $10^{-12} \text{ C/N}$ ]	$Q_m$
0	7.82	4035	58	709	60
1	7.88	4509	59	757	58
2	7.94	4656	57	720	54
3	7.87	4808	54	706	52
4	7.90	4630	51	618	51
5	7.93	4527	44	549	50

#### 4. 결 론

$x\text{PMW}-(1-x)[\text{PNN-PT-PZ}]$  의 조성식으로  $X$ 를 0.01, 0.02, 0.03, 0.04, 0.05로 변화시켜 소결한 시편에 대한 유전 및 압전 특성을 고찰하였다.

1. 시편 밀도는  $7.82\text{g}/\text{cm}^3 \sim 7.94\text{g}/\text{cm}^3$ 로 치밀하게 소결되었고 X-선 회절 분석 결과 전반적으로 삼방정계의 결정구조를 나타내고 있다.

2. PMW 치환량이 3mol% 일 때까지는 상온에서의 유전상수가 증가하다가 그 이상 치환량이 증가할 수록 감소하였다.

3. PMW 치환량이 1mol% 일 때  $kp=59\%$ ,  $d_{33}=748 \times 10^{-12} \text{ C/N}$  으로 가장 우수한 특성을 나타내었다.

#### REFERENCE

- B. Jaffe, R. S. Roth, and S. Marzullo "Properties of Piezoelectric Ceramics in the Solid-Solution Series Lead Titanate-Lead Zirconata-Lead Oxide : Tin Oxide and Titanate-Lead Hafnate", J. Res. Natl. Std. Vol. 55, No. 5, pp. 239, 1955
- T. Ikeda and T. Okano, Jpn. J. Appl. Phys., 3(2) 63, 1964
- 田中：チタン酸ハリウムとその應用，オーム文庫，オーム社，1955
- E. A. Buyanova, P. L. Strelets, I. A. Serova and V. A. Isupov, "Ferroelectric Properties of  $\text{PbTiO}_3\text{-PbZrO}_3\text{-Pb(Ni,Nb)O}_3$  Solid Solution," Bull. Acad. Sci. USSR, Phys. Ser. 29, pp. 1877, 1965
- M. Yonezawa, Ferroelectrics Vol. 68, pp. 181, 1986
- IEEE Std. 176-1978, 40~53(1978)